

اثر میکورایز آربوسکولار و برادی رایزوبیوم بر برخی از شاخص‌های فیزیولوژیکی رشد سویا در شرایط تنش رطوبتی

محمدعلی ابوطالبیان^{۱*}، گودرز احمدوند^۲ و محبوبه خلیلی^۳

(تاریخ دریافت: ۱۳۹۲/۵/۱۰؛ تاریخ پذیرش: ۱۳۹۲/۹/۲۷)

چکیده

به منظور بررسی تأثیر کودهای زیستی بر برخی از شاخص‌های فیزیولوژیکی رشد رقم M9 سویا تحت شرایط تنش رطوبتی، آزمایشی به صورت کرت‌های خرد شده در قالب طرح بلوک‌های کامل تصادفی در سه تکرار در مزرعه تحقیقاتی دانشگاه بوعلی سینای همدان در بهار سال ۱۳۹۱ اجرا گردید. در کرت‌های اصلی سه سطح آبیاری شامل ۵۰، ۱۰۰ و ۱۵۰ میلی‌متر تبخیر از تشت تبخیر کلاس A و در کرت‌های فرعی کود بیولوژیک در چهار سطح (تلقیح بذرها با برادی رایزوبیوم جاپونیکوم، کاربرد میکورایز آربوسکولار، تلقیح و کاربرد هم‌زمان هر دو کود زیستی و عدم استفاده از کودهای زیستی) بودند. نتایج نشان داد با افزایش شدت تنش رطوبت تمامی شاخص‌های رشد اندازه‌گیری شده به‌ویژه حداکثر سرعت رشد محصول، حداکثر ماده خشک کل و دوام ماده خشک کل کاهش یافتند. میزان کاهش سه شاخص مذکور در حالت تنش شدید رطوبت در مقایسه با شرایط عدم تنش به ترتیب ۶۳، ۵۰/۸ و ۴۷/۶ درصد بود. کاربرد کودهای زیستی به خصوص میکورایز در حالت عدم تنش عموماً سبب کاهش شاخص‌های اندازه‌گیری شده گردید، اما در شرایط تنش شدید رطوبتی آبیاری پس از ۱۵۰ میلی‌متر تبخیر، کاربرد هم‌زمان هر دو کود زیستی در مقایسه با تیمار عدم مصرف کودهای زیستی، منجر به افزایش قابل توجه بیشتر شاخص‌های رشد از جمله حداکثر سرعت رشد محصول، حداکثر شاخص سطح برگ و دوام ماده خشک کل به ترتیب به میزان ۵۰، ۲۸/۶ و ۴۵/۸ درصد گردید.

واژه‌های کلیدی: تنش آب، شاخص رشد، کود زیستی

۱، ۲ و ۳. به ترتیب استادیار، دانشیار و دانشجوی کارشناسی ارشد، گروه زراعت، دانشکده کشاورزی، دانشگاه بوعلی سینا همدان

*. مسئول مکاتبات، پست الکترونیکی: aboutalebian@yahoo.com

مقدمه

سویا (*Glycin max L.*) گیاهی است از خانواده بقولات که بالاترین سطح زیر کشت و تولید دانه روغنی و پروتئینی را در جهان به خود اختصاص داده است. کشت این گیاه از سال ۱۳۴۶ به عنوان دانه روغنی در بخش‌هایی از ایران مورد توجه قرار گرفته است (۹). تنش رطوبتی عامل اصلی کاهش رشد گیاهان در اقلیم‌های خشک و نیمه‌خشک می‌باشد. خسارت خشکی در این مناطق سالانه به میلیون‌ها دلار می‌رسد. ایران در منطقه خشک و نیمه‌خشک قرار دارد، بنابراین توجه به مسأله تنش رطوبتی از اهمیت زیادی برخوردار است (۸). کمبود آب در بسیاری از مراحل نمو سویا عملکرد را کاهش می‌دهد (۱۲ و ۱۵). در اثر افزایش شدت تنش سرعت تولید ماده خشک در گیاه کاهش می‌یابد (۲۰ و ۳۳). از روش‌های مؤثر مدیریت زراعی برای مقابله با خشکی کمک به گسترش بیشتر ریشه و همچنین افزایش حاصلخیزی خاک است تا ضمن جذب بیشتر رطوبت خاک کارایی مصرف آب نیز توسط گیاه افزایش یابد (۳۲).

آنالیز رشد که از طریق اندازه‌گیری ماده خشک و سطح برگ در طی فصل رشد در فواصل زمانی معین به دست می‌آید، روشی جهت مطالعه چگونگی انباشت و انتقال مواد فتوسنتزی به اندام‌های مختلف گیاه می‌باشد. موچو (۲۴) گزارش کرد که وقوع تنش رطوبتی از زمان استقرار گیاهچه و ادامه یافتن آن تا زمان بلوغ لگوم‌های دانه‌ای مختلف از جمله سویا باعث کاهش جذب تشعشع فعال فتوسنتزی و مقدار ماده خشک اندام‌های هوایی می‌شود. تنش رطوبتی طی دوره زایشی در گیاه سویا، وزن خشک برگ را کاهش می‌دهد، علت این امر را می‌توان به کاهش آسمیلاسیون کربن نسبت داد (۸). در تحقیقی نیز روی سویا گزارش شد که میزان شاخص سطح برگ، جذب نور خورشید و ماده خشک کل با افزایش فواصل زمانی آبیاری کاهش یافت (۱۰). سرعت رشد گیاه و ثبات آن نیز تعیین‌کننده مقدار ماده خشک تولیدی بوده و کل ماده خشک تولیدی معیاری از پتانسیل عملکرد است (۱۷). بسته شدن روزنه‌ها در

اثر تنش رطوبتی تبادل دی‌اکسید کربن را در برگ‌ها کاهش می‌دهد که در نتیجه کاهش فتوسنتز، سطح برگ، تولید بیوماس، اندازه و تعداد دانه را در پی دارد (۲۰ و ۲۴). بنابراین تنش رطوبتی و عوارض ناشی از آن باعث کاهش عملکرد می‌گردد (۳۰). دی‌کوستا و شانموگاتاسان (۱۰) تنش رطوبتی را در مرحله گل‌دهی تا شروع پُر شدن دانه در نوعی رقم رشد محدود سویا به علت کاهش سرعت رشد و کاهش تعداد دانه در شاخه اصلی، عامل کاهش عملکرد گزارش نمودند. ادوردو و همکاران (۱۱) نیز کاهش رشد رویشی شاخه‌ها و کاهش تعداد دانه در شاخه اصلی را عامل مهمی در کاهش عملکرد دانه سویا عنوان نموده‌اند.

با کاهش رطوبت قابل استفاده خاک، مقدار تثبیت نیتروژن کاهش یافته و ماده خشک کمتری تولید می‌شود، در این زمینه همبستگی مثبت بین رطوبت قابل دسترس خاک و مقدار تثبیت نیتروژن گزارش شده است (۲۸). بنابراین دستیابی به راهبردهایی برای کاهش اثر منفی تنش رطوبتی بر گیاه از اهمیت ویژه‌ای برخوردار است (۳۱). استفاده از کودهای آلی و زیستی به عنوان یک مکمل خاک و عاملی که سبب بهبود ویژگی‌های فیزیکی، شیمیایی و بیولوژیکی خاک می‌شود، می‌تواند یکی از راه‌کارهای کاهش شدت تنش رطوبتی باشد (۱۲). بر این اساس، مایه‌زنی گیاهان با میکرواورگانیسم‌های همزیست با آنها هم‌چون قارچ میکورایز و باکتری‌های تثبیت‌کننده نیتروژن و باکتری‌های آزادی که باعث تحریک رشد گیاه می‌شوند، می‌تواند سودمند باشد (۲، ۳، ۴، ۷، ۱۱ و ۱۸). برادری‌ریزوبیوم از باکترهای همزیست با گیاه سویا است که از این راه باعث تثبیت نیتروژن می‌شود. گزارش شده که بین گونه‌های ریزوبیوم و قارچ میکورایز رابطه سینرژیستی وجود دارد (۱ و ۳۲). استری نیواسا و همکاران (۳۱) گزارش کردند که قارچ‌های میکورایزی و زیکولار آربوسکولار در پیدایش گره به باکتری برادری‌ریزوبیوم ژاپونیکوم سویا کمک می‌کنند. نتایج تحقیقات نشان می‌دهد تلقیح بذر گیاهان زراعی با قارچ‌های میکورایز سبب افزایش شاخص سطح برگ (۴ و ۳۳)، سرعت

رشد محصول (۶ و ۳۳)، جذب خالص (۳۳) و وزن خشک کل (۶) گردیده است. از آنجا که کمبود رطوبت، گسترش ریشه و میزان تثبیت نیتروژن را محدود می‌کند (۳) در این پژوهش سعی شده است تا تأثیر کود زیستی قارچ میکورایز و مایه تلقیح سویا به عنوان عواملی در افزایش توسعه ریشه، جذب رطوبت از خاک (۷ و ۲۴) و افزایش نیتروژن مورد نیاز گیاه (۲ و ۳۱) بر روی برخی شاخص‌های فیزیولوژیکی رشد سویا در شرایط کمبود رطوبت خاک، مورد بررسی قرار گیرد و از طریق تجزیه و تحلیل این شاخص‌ها بتوان عکس‌العمل گیاه نسبت به تیمارهای به‌کار رفته را مورد بررسی قرار داد.

مواد و روش‌ها

این آزمایش در سال ۱۳۹۱ در مزرعه تحقیقاتی دانشکده کشاورزی همدان انجام شد. مشخصات خاک مزرعه تحقیقاتی در جدول ۱ آورده شده است. منطقه مورد آزمایش از نظر اقلیمی نیمه‌خشک و سرد با میانگین بارش سالانه ۳۳۳ میلی‌متر و متوسط درجه حرارت ۲۴ درجه سانتی‌گراد در گرم‌ترین ماه سال می‌باشد. در این مطالعه از رقم M9 سویا استفاده شد. این رقم رشد محدود بوده و در گروه رسیدگی زودرس قرار دارد و دارای دوره رشدی ۱۱۰ - ۱۰۰ روز می‌باشد.

عملیات خاک‌ورزی در بهار انجام شد و شامل یک شخم متوسط و دیسک بود. پیش از کاشت براساس آزمون خاک ۱۰۰ کیلوگرم در هکتار کود فسفات از منبع سوپرفسفات تریپل و ۵۰ کیلوگرم در هکتار کود نیتروژنه از منبع اوره به‌کار برده شد. بذر و مایه تلقیح *Bradyrhizobium japonicum* از مرکز تحقیقات دانه‌های روغنی همدان و کود زیستی میکورایز آربوسکولار از نوع *Glomus mosseae* با ۱۵۰ اسپور قارچ در هر گرم، از شرکت زیست‌فناوران توران شاهرود با نام تجاری مایکوپرسیکا تهیه گردید. عملیات کاشت در ۱۳ خرداد با تراکم ۴۰ بوته در مترمربع به صورت دستی انجام شد. در واحدهای آزمایشی متناسب با تیمارهای موجود بذور پیش از کاشت به مایه تلقیح برادی ریزوبیوم آغشته شدند. کود زیستی میکورایز

نیز در زمان کاشت طبق توصیه شرکت تولید کننده به صورت خاک مصرف به میزان ۲۰ گرم در هر مترمربع زمین زراعی در تیمارهای مربوطه به صورت نواری در کنار خطوط کاشت مصرف گردید. آزمایش به صورت کرت‌های خرد شده در قالب طرح بلوک کامل تصادفی با سه تکرار انجام شد. عامل تنش شامل ۵۰، ۱۰۰ و ۱۵۰ میلی‌متر تبخیر از تشت تبخیر کلاس A که به ترتیب به عنوان آبیاری مطلوب، تنش ملایم و تنش شدید رطوبتی در نظر گرفته شد، در کرت اصلی و عامل کود زیستی با چهار سطح شامل بدون کاربرد کود زیستی، کاربرد میکورایز، کاربرد مایه تلقیح سویا (برادی ریزوبیوم ژاپونیکوم) و کاربرد هم‌زمان هر دو نوع کود زیستی، در کرت فرعی قرار گرفت. هر واحد آزمایشی به طول ۵ متر با فاصله ردیف ۵۰ سانتی‌متر و در ۶ خط کاشت در نظر گرفته شد و فاصله بین کرت‌های اصلی نیز حدود ۲ متر تنظیم شد. در این مطالعه واحدهای آزمایشی تا مرحله ۶ برگی به‌طور کامل آبیاری شدند تا استقرار بوته‌ها و شروع همزیستی میکورایز و برادی ریزوبیوم‌ها با گیاهان با موفقیت انجام گیرد و سپس اعمال تیمارهای تنش آغاز شد. آبیاری به صورت جوی‌پشته انجام گردید و در طول دوره رشد بارشی صورت نگرفت. کنترل علف‌های هرز نیز برحسب نیاز در طی دوره رشد گیاه به صورت دستی صورت گرفت.

برای اندازه‌گیری شاخص‌های فیزیولوژیکی رشد، ۴۰ روز پس از کاشت با فاصله هر ۱۰ روز، از هریک از کرت‌های فرعی، ۵ بوته به‌طور تصادفی با رعایت اثر حاشیه از سطح خاک برداشت و سطح برگ و ماده خشک آنها اندازه‌گیری گردید.

شاخص سطح برگ (LAI)، وزن خشک کل (TDM)، سرعت نسبی رشد (RGR)، سرعت جذب خالص (NAR)، سرعت رشد گیاه (CGR)، دوام شاخص سطح برگ (LAID) و دوام ماده خشک کل (TDMD) به ترتیب براساس روابط ۱ تا ۷ محاسبه گردید (۳۳).

$$LAI = \text{Exp} (a' + b' x + c' x^2) \quad (1)$$

جدول ۱. ویژگی‌های فیزیکی و شیمیایی خاک محل آزمایش

رس	سیلت	شن	بافت خاک	فسفر قابل جذب	پتاسیم قابل جذب	نیتروژن کل	کربن آلی	هدایت الکتریکی	اسیدیته
(%)	(%)	(%)	(دسی‌زیمنس بر متر)	(میلی‌گرم بر کیلوگرم)	(%)	(%)	(دسی‌زیمنس بر متر)		
۳۵	۴۵	۲۰	لومی رسی	۸/۲	۲۲۰/۰	۰/۱۰	۰/۷۲	۰/۴	۷/۷

تبخیر) شاخص سطح برگ به ترتیب ۳ و ۳۶ درصد کاهش یافت. بالاترین مقادیر حداکثر شاخص سطح برگ در تیمار آبیاری مطلوب و کاربرد هم‌زمان دو کود زیستی در شرایط تنش ملایم و شدید و کمترین میزان آن در تیمار عدم مصرف کود زیستی (شاهد) در شرایط تنش شدید به دست آمد (جدول ۳).

گزارش شده است که همزیستی بین قارچ میکورایز آربسکولار و ریشه‌های گیاه میزبان به میزان قابل توجهی رشد و جذب عناصر غذایی گیاه را افزایش می‌دهد (۳). این قارچ‌ها با داشتن شبکه هیفی گسترده و افزایش سطح و سرعت جذب ریشه، کارایی گیاهان را در جذب آب و عناصر غذایی افزایش و موجب بهبود رشد آنها می‌شوند (۶). لیو و همکاران (۲۱) واکنش‌های مثبت ایجاد شده توسط همزیستی میکورایز آربسکولار را عامل افزایش جذب یون‌های کم‌تحرک خاک از قبیل فسفر، پتاسیم، کلسیم، منیزیم، گوگرد، آهن، روی، مس و منگنز معرفی کرده‌اند. از آنجایی که تحرک عناصر غذایی در شرایط تنش رطوبتی پایین می‌باشد (۱۵)، میکورایز آربسکولار می‌تواند تأثیر زیادی روی رشد و نمو تمام اندام‌های گیاه در شرایط تنش رطوبتی نسبت به شرایط آبیاری نرمال داشته باشد (۴). هم‌چنین تغییر غلظت ترکیبات تنظیم‌کننده رشد همانند اکسین، سیتوکینین، جیبرلین و اتیلن در ریشه‌های تحت تأثیر میکروارگانیزم‌ها گزارش شده است (۱۳).

با دقت در جدول ۳ دیده می‌شود که در تنش شدید اثر میکورایز بر حداکثر شاخص سطح برگ بیشتر از اثر ریزوبیوم است، هرچند که این تفاوت معنی‌دار نشده است اما کاربرد هم‌زمان آنها به‌طور قابل توجهی این صفت را در تنش شدید

$$TDW = \text{Exp} (a + b x + c x^2) \quad (2)$$

$$RGR = b + 2ct \quad (3)$$

$$NAR = (b + 2cx) \text{Exp} [(a-a') + (b-b')x + (c-c')x^2] \quad (4)$$

$$CGR = NAR \times LAI \quad (5)$$

$$LAID = \sum [(LAI_s + LAI_{s+1}) / 2] (x_s - x_{s+1}) \quad (6)$$

$$TDMD = \sum [(TDM_s + TDM_{s+1}) / 2] (x_s - x_{s+1}) \quad (7)$$

a, b, c, a', b', c' ضرایب معادلات رگرسیون و x تعداد روز پس از کاشت می‌باشد. در روابط ۶ و ۷، s شماره مرحله نمونه‌برداری را که بین ۱ تا ۵ می‌باشد، نشان می‌دهد. هم‌چنین داده‌های مربوط به پیک منحنی‌های شاخص سطح برگ، وزن خشک کل و سرعت رشد گیاه آنالیز واریانس شدند. برای آنالیز واریانس سرعت رشد نسبی و سرعت جذب خالص که پیک ندارند از داده‌های مربوط به روز هفتم پس از کاشت، مصادف با پیک سرعت رشد گیاه استفاده شد.

در این تحقیق برای آنالیز و تجزیه واریانس داده‌ها از برنامه SAS و برای مقایسه میانگین نیز از روش حداقل تفاوت معنی‌دار در سطح احتمال پنج درصد استفاده گردید. هم‌چنین نمودارها با استفاده از نرم‌افزار Excel رسم شدند.

نتایج و بحث

شاخص سطح برگ

مطابق جدول ۲ مشاهده می‌شود که تنش رطوبت، کود زیستی و اثر متقابل آنها روی حداکثر شاخص سطح برگ در سطح یک درصد معنی‌دار شده است. با افزایش شدت تنش حداکثر شاخص سطح برگ کاهش یافت به طوری که در تنش‌های ۱۰۰ و ۱۵۰ میلی‌متر تبخیر در مقایسه با عدم تنش (۵۰ میلی‌متر

جدول ۲. تجزیه واریانس (میانگین مربعات) شاخص های رشد اندازه گیری شده سویا

دوام ماده خشک کل	دوام سطح برگ	سرعت رشد محصول	سرعت رشد	سرعت نسبی رشد	سرعت جذب خالص	سرعت خشک کل	ماده خشک برگ	سطح برگ	درجه آزادی	منابع تغییرات
۱۹۶۸۶۶/۵۵ ^{ns}	۸۷۳/۰۸ ^{ns}	۲۴/۱۳ ^{ns}	۰/۰۰۰۰۰۲ ^{ns}	۰/۱۳ ^{ns}	۹۱۴۱/۴۱ ^{ns}	۰/۱۵ ^{ns}	۲	تکرار		
۲۰۷۸۵۱۲۱/۱۳ ^{**}	۴۳۴۵۰/۳۳ ^{**}	۲۷۷۹/۳۲ ^{**}	۰/۰۰۰۰۷ ^{**}	۲۹/۱۴ ^{**}	۱۹۸۳۸۳۸/۳ ^{**}	۱۷/۸۰ ^{**}	۲	تنش		
۶۹۹۷۶/۹۷	۳۸۶/۱۷	۱۹/۲۸	۰/۰۰۰۰۰۵	۰/۳۵	۹۷۴۷/۸۳	۰/۲۶	۴	خطای اصلی		
۶۵۵۴۴۲/۰۷ ^{**}	۳۲۹۲/۲۵ ^{**}	۴۱/۱۵ [*]	۰/۰۰۰۰۰۱ [*]	۰/۱۰ ^{ns}	۲۹۲۹۸/۵۶ [*]	۰/۶۶ ^{**}	۳	کود زیستی		
۸۷۲۶۵۶/۴۲ ^{**}	۳۳۵۷/۱۱ ^{**}	۷۴/۸۳ ^{**}	۰/۰۰۰۰۰۴ ^{**}	۰/۱۷ ^{ns}	۵۸۴۷۷/۱۴ ^{**}	۱/۶۰ ^{**}	۶	تنش x کود زیستی		
۴۵۸۴۴/۴۹	۲۷۰/۳۳	۱۱/۶۴	۰/۰۰۰۰۰۲	۰/۲۴	۸۱۹۴	۰/۰۶	۱۸	خطای فرعی		
۵/۰۲	۶/۳۲	۹/۱۵	۳/۳۱	۷/۷۲	۷/۷۱	۴/۲۸		ضرب ضرب تغییرات (/)		

ns و **: به ترتیب غیر معنی دار، معنی دار، معنی دار در سطح پنج و یک درصد

جدول ۳. مقایسه میانگین اثر متقابل تنش رطوبتی و کود زیستی بر شاخص های رشد سویا

دوام ماده خشک کل (g m ⁻² day)	دوام شاخص سطح (LAI day)	دوام شاخص سطح (g m ⁻² day ⁻¹)	سرعت نسبی رشد در روز ۷۰ (g g ⁻¹ day ⁻¹)	سرعت نسبی رشد در روز ۷۰ (g m ⁻²)	میانگین ماده خشک کل سطح برگ	میانگین شاخص سطح برگ	کود زیستی	میزان تبخیر (mm)
۶۲۸۴/۹۸	۳۶۱/۳۳	۵۹/۲۲	۰/۰۴۴	۱۷۹۷/۴۷	۸/۹۹	۸/۹۹	شاهد	
۴۷۸۵/۷۷	۲۶۸/۳۳	۴۳/۸۶	۰/۰۴۲	۱۳۹۱/۰۴	۶/۴۳	۶/۴۳	میکورایز	۵۰
۵۲۷۵/۹۱	۲۷۹/۶۷	۴۹/۷۸	۰/۰۴۵	۱۵۱۱/۱۶	۶/۸۲	۶/۸۲	رایزوبیوم	
۵۶۳۳/۳۸	۳۰۸/۳۳	۴۹/۴۸	۰/۰۴۳	۱۵۳۸/۷۳	۷/۰۲۶	۷/۰۲۶	میکورایز + رایزوبیوم	
۳۸۳۸/۹۳	۲۵۴/۳۳	۳۵/۹۳	۰/۰۴	۱۱۷۶/۸۹	۶/۶۶	۶/۶۶	شاهد	
۴۳۱۶/۶۲	۲۷۶/۰۰	۳۳/۵۷	۰/۰۳۷	۱۱۵۵/۶۷	۷/۱۲	۷/۱۲	میکورایز	۱۰۰
۴۶۰۵/۶۹	۲۸۴/۳۳	۳۶/۲۸	۰/۰۳۸	۱۳۳۶/۱۸	۷/۰۴	۷/۰۴	رایزوبیوم	
۴۸۲۸/۲۶	۳۲۲/۳۳	۳۷/۰۸	۰/۰۳۷	۱۲۸۹/۶۸	۷/۶	۷/۶	میکورایز + رایزوبیوم	
۳۳۶۹/۶۴	۱۷۰/۳۳	۱۴/۷۷	۰/۰۲۹	۶۷۲/۱۲	۴/۲۹	۴/۲۹	شاهد	
۳۰۱۷/۷۸	۱۹۹/۶۷	۱۹/۷۹	۰/۰۳۱	۷۸۳/۳۳	۴/۶۶	۴/۶۶	میکورایز	۱۵۰
۲۶۹۹/۲۰	۱۶۸/۰۰	۱۸/۲۸	۰/۰۳۲	۷۰۸/۵	۴/۲۵	۴/۲۵	رایزوبیوم	
۳۴۵۵/۶۴	۲۲۸/۳۳	۲۲/۲۱	۰/۰۲۹	۹۰۲/۳۵	۵/۵۲	۵/۵۲	میکورایز + رایزوبیوم	
۳۸۲/۹۴	۲۸/۴۹	۵/۵۶	۰/۰۰۲	۲۰۹/۸۶	۰/۵۷	۰/۵۷	LSD %5	

کمتری تولید و حفظ شد (کمتر بودن شاخص سطح برگ در سراسر دوره رشد) ولی ممکن است در نتیجه داشتن پوشش گیاهی بازتر نسبت به حالت عدم تنش، نفوذ نور به داخل جامعه گیاهی به خوبی صورت گرفته و باعث حفظ برگ‌ها به مدت طولانی‌تر گردد (۲۶). بالاترین شاخص سطح برگ در تیمار تنش شدید متعلق به کاربرد توأم هر دو کود زیستی بوده است (شکل ۱، ج).

ماده خشک کل

اثرات اصلی و متقابل عامل‌های تنش رطوبتی و کود زیستی بر حداکثر ماده خشک کل در سطح یک درصد معنی‌دار گردید (جدول ۲). نتایج مقایسه میانگین‌ها نشان می‌دهد که در شرایط عدم تنش رطوبت، کاربرد کودهای زیستی به‌ویژه میکورایز سبب کاهش ۲۲/۶ درصدی حداکثر ماده خشک گردید اما در شرایط تنش شدید رطوبتی این روند معکوس شد به گونه‌ای که کاربرد هم‌زمان میکورایز و رایزوبیوم حداکثر ماده خشک را ۳۴ درصد نسبت به حالت عدم کاربرد کود زیستی افزایش داد (جدول ۳ و شکل ۲) که با نتایج مربوط به شاخص سطح برگ هماهنگی دارد. به نظر می‌رسد در شرایط عدم تنش رطوبت میکروارگانیزم‌های همزیست به‌ویژه قارچ میکورایز بیش از آنکه مفید باشند بر سر دریافت مواد فتوسنتزی با خود گیاه زراعی رقابت می‌کنند (۲ و ۱۸). وجود رابطه هم‌افزایی بین قارچ میکورایز آربوسکولار و برادی رایزوبیوم ژاپونیکوم در حالت کمبود رطوبت خاک این رخ داد را توجیه می‌کند.

از آنجایی که تحرک عناصر غذایی در شرایط تنش رطوبتی پایین می‌باشد، میکورایز آربوسکولار می‌تواند تأثیر زیادی روی رشدونمو تمام اندام‌های گیاه در شرایط تنش رطوبتی نسبت به شرایط آبیاری نرمال داشته باشد (۲ و ۴). در آزمایشی مشخص شده است تلفیح توأم ریزوبیوم، قارچ میکورایز و ریزوباکتری‌های حل‌کننده فسفات در ریزوسفر یونجه باعث افزایش جذب فسفر و نیتروژن در این گیاه گردید (۳۲). در گزارشی دیگر مایه‌زنی بذرها با سویا با سودوموناس و

رطوبتی به میزان ۲۸/۷ درصد نسبت به تیمار عدم کاربرد کود زیستی در همان سطح تنش، افزایش داده است (جدول ۳)، این اتفاق می‌تواند به اثر هم‌افزایی میکروارگانیزم‌ها بر یکدیگر تعبیر گردد (۱، ۳۱، ۳۲ و ۳۴). از آنجا که حداکثر شاخص سطح برگ همبستگی بالایی با حداکثر ماده خشک کل، دوام وزن خشک کل و دوام سطح برگ نشان داد (جدول ۴) لذا می‌توان نتیجه گرفت که بهبود شاخص سطح برگ تحت تأثیر کاربرد کودهای زیستی در تنش رطوبت سبب افزایش فتوسنتز می‌گردد.

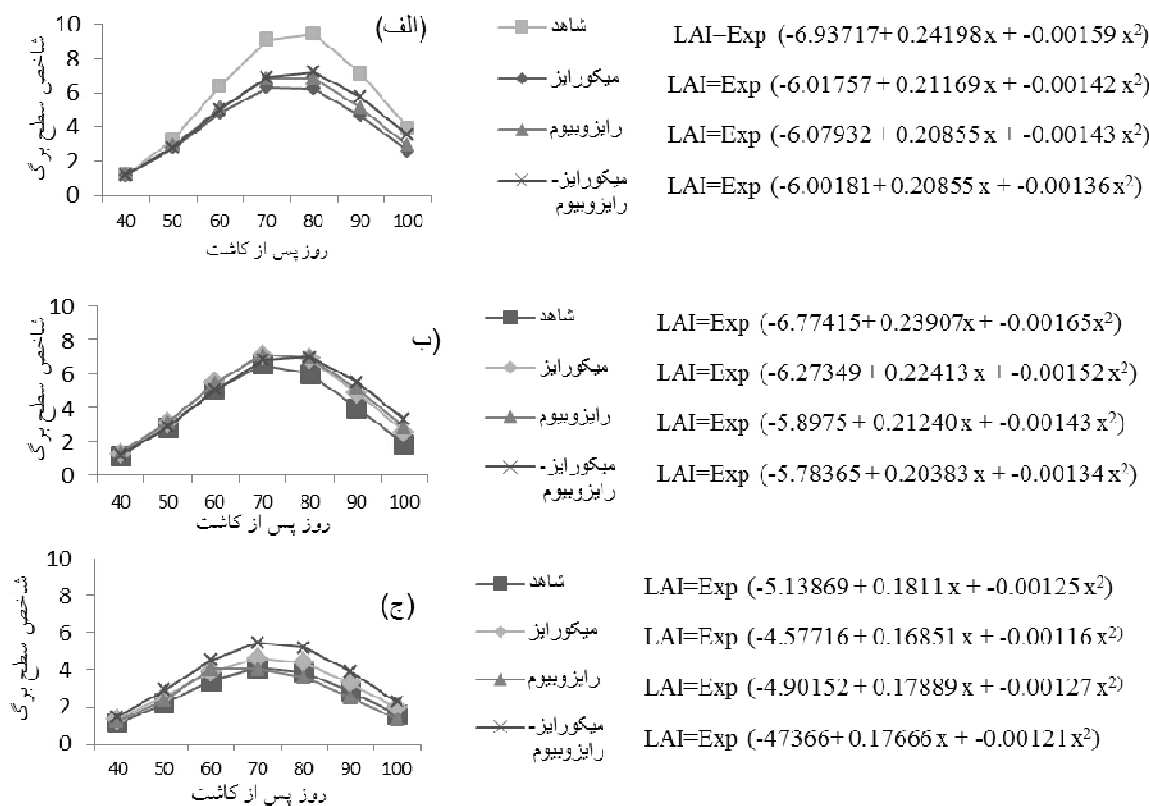
تغییرات شاخص سطح برگ در طول دوره رشد در شکل ۱ ملاحظه می‌شود. بررسی سطوح آبیاری نشان داد در اوایل دوره رشد تا حدود ۵۰ روز پس از کاشت، سطح برگ گیاه با سرعت آهسته افزایش یافت و پس از آن تا رسیدن به حداکثر با سرعت بیشتری افزایش یافت و بعد از آن شاخص سطح برگ کاهش یافت. توقف تولید برگ‌های جدید، پیری و زردی برگ‌ها از عوامل کاهش سطح برگ محسوب می‌شوند (۸). در تیمار بدون تنش بیشترین شاخص سطح برگ در ۸۰ روز پس از کاشت مشاهده شد (شکل ۱، الف) در صورتی که در تیمارهای تنش ملایم و شدید حداکثر شاخص سطح برگ در حدود ۷۰ روز پس از کاشت رخ داد (شکل ۱، ب و ج) یعنی بروز تنش رطوبتی روند توسعه سطح برگ را کاهش می‌دهد (۸).

بین فرایندهای گیاهی، رشد برگ‌ها تأثیر شدیدی از شرایط آبی گیاه می‌پذیرد. کاهش جذب آب به دلیل کاهش رشد و فعالیت ریشه، کاسته شدن از مقدار و کارایی فتوسنتز در اثر کاهش تبادلات روزنه‌ای (۱۹) و کاهش میزان فعالیت آنزیم‌های فتوسنتزی (۲۷) از عوامل اثرگذار روی کاهش سطح برگ در شرایط رطوبتی هستند. هم‌چنین شاخص سطح برگ در شرایط آبیاری کامل بعد از حداکثر مقدار آن، با شدت بیشتری افت کرد (شکل ۱، الف). در این حالت به علت ایجاد پوشش گیاهی بسته‌تر نسبت به حالت تنش، نور کمتری به قسمت‌های پایینی جامعه گیاهی نفوذ کرده و می‌تواند سبب تسریع در پیری برگ‌ها گردد. با وجود اینکه در شرایط تنش خشکی برگ‌های

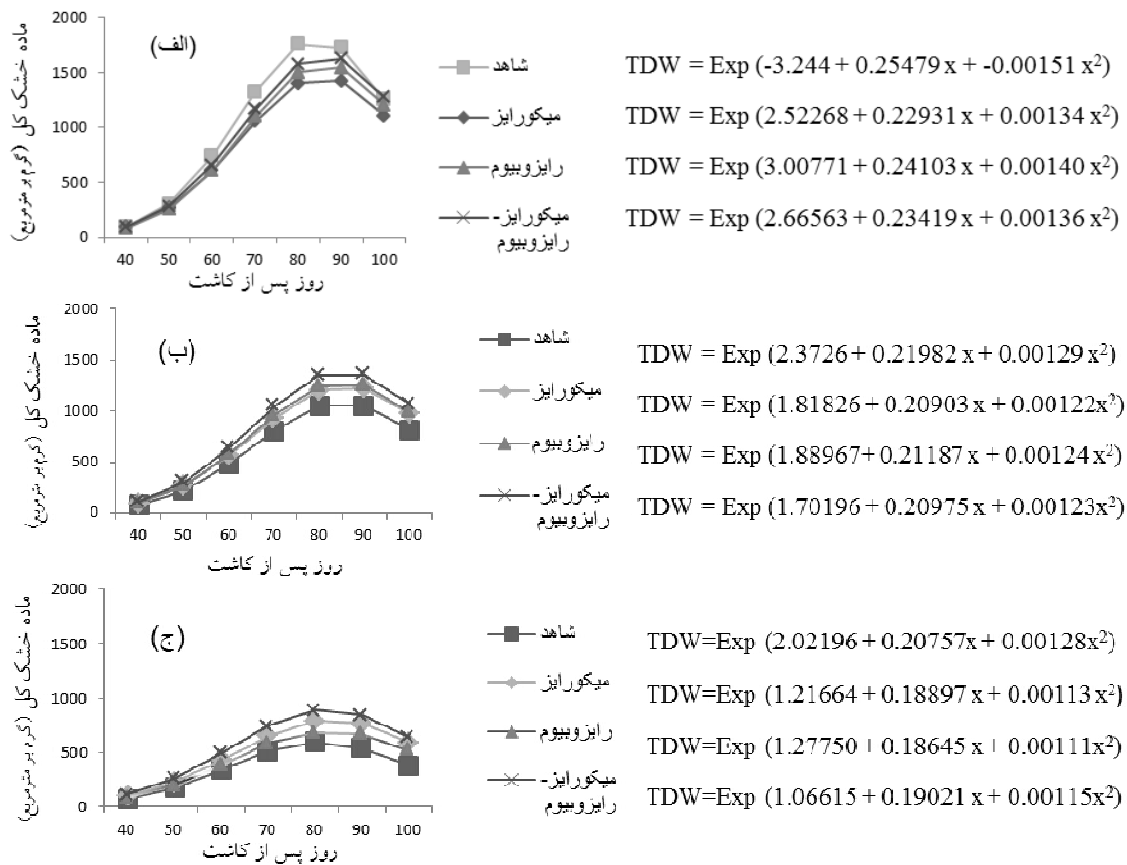
جدول ۴. همبستگی بین صفات

(۱) حداکثر شاخص سطح برگ	(۲) سرعت جذب خالص (روز ۷۰)	(۳) حداکثر سرعت رشد محصول	(۴) سرعت نسبی رشد (روز ۷۰)	(۵) حداکثر ماده خشک کل	(۶) دوام وزن خشک کل	(۷) دوام سطح برگ
۱						
۰/۵۹**	۱					
۰/۷۷**	۰/۹۱**	۱				
۰/۷۶**	۰/۹۲**	۰/۹۴**	۱			
۰/۸۸**	۰/۸۹**	۱/۰۰**	۰/۹۲**	۱		
۰/۸۹**	۰/۸۵**	۰/۹۷**	۰/۸۸**	۰/۹۸**	۱	
۰/۹۶**	۰/۶۷**	۰/۸۹**	۰/۷۷**	۰/۹۱**	۰/۹۴**	۱

* و **: به ترتیب معنی دار در سطح پنج و یک درصد



شکل ۱. روند تغییرات شاخص سطح برگ (LAI) در آبیاری مطلوب (الف)، تنش رطوبتی ملایم (ب) و تنش رطوبتی شدید (ج)



شکل ۲. روند تغییرات تجمع ماده خشک کل (TDW) در آبیاری مطلوب (الف)، تنش رطوبتی ملایم (ب) و تنش رطوبتی شدید (ج)

برادی رایزوبیوم ژاپونیکوم و گلوموس اتونیکاتوم دارای وزن خشک دانه و اندام هوایی بالاتر و پتانسیل آب بیشتری بودند و مکانیزم اصلی ایجاد شده در این گیاهان را اجتناب از خشکی عنوان نمودند.

با توجه به شکل ۲ مشاهده می‌شود که در ابتدای فصل رشد به دلیل کم بودن اندام‌های رویشی و اختصاص بیشتر مواد فتوسنتزی به ریشه‌ها (۲۶)، رشد اندام هوایی بوته‌ها در تمام تیمارها آهسته بود که در این مدت تفاوت چندانی بین تیمارهای کود زیستی مشاهده نشد، اما در ادامه رشد و با رسیدن ماده خشک کل به حداکثر خود، تفاوت بین سطوح کودهای زیستی محسوس‌تر شد. در تیمارهای عدم تنش رطوبتی با توسعه اندام‌های هوایی و ریشه در نتیجه بهره‌برداری بیشتر از منابع قابل دسترس (نور، رطوبت و مواد غذایی) رشد

برادی رایزوبیوم ژاپونیکوم، جوانه‌زنی بذر و استقرار گیاهچه را بهبود بخشید و باعث افزایش طول و ماده خشک اندام هوایی و ریشه، تعداد گره و جذب عناصر غذایی نسبت به شرایط بدون مایه‌زنی گردید (۳۴). هم‌چنین اظهار شده است که سویه‌های مختلف رایزوبیوم لگومینوزاروم ظرفیت تحریک رشد گیاه را از طریق مکانیسم‌های مستقیم تولید موادی مانند سیدروفور (۶) یا حل‌کننده فسفات (۶ و ۲۹) دارند. باکتری‌های حل‌کننده فسفات می‌توانند با سنتز هورمون‌های گیاهی باعث افزایش رشد گیاهی شوند به این ترتیب که در مراحل اولیه رشد گیاهی را تحت تأثیر قرار داده و ریشه حجم بیشتری از خاک را اشغال می‌کند و سطح جذب افزایش می‌یابد (۵).

علی‌اصغر زاد و همکاران (۲) در آزمایشی روی سویا تحت تنش رطوبتی گزارش نمودند که گیاهان تیمار شده با

جدول ۵. اثر تنش رطوبتی بر سرعت جذب خالص

میزان تبخیر (mm)	سرعت جذب خالص (g m ⁻² day ⁻¹)
۵۰	۸/۰۱
۱۰۰	۵/۹۰
۱۵۰	۴/۹۶
LSD _{5%}	
	۰/۴۲

نشان می‌دهد. تنش رطوبتی باعث افزایش شیب افت سرعت فتوسنتز خالص می‌گردد (۱۶) لذا هنگامی که برگ‌های جدید اضافه می‌شوند به علت سایه‌اندازی برگ‌ها بر روی یکدیگر، وزن خشک به دست آمده به ازای واحد سطح برگ کاهش می‌یابد (شکل ۴). از آنجا که سرعت جذب خالص تابع مستقیم سرعت رشد محصول می‌باشد که از ضریب همبستگی بالای آنها نیز مشخص است (۰/۹۱، جدول ۴)، می‌توان کاهش شدید آن‌را در تنش شدید رطوبت به کاهش شدیدتر سرعت رشد محصول نسبت داد (شکل ۵).

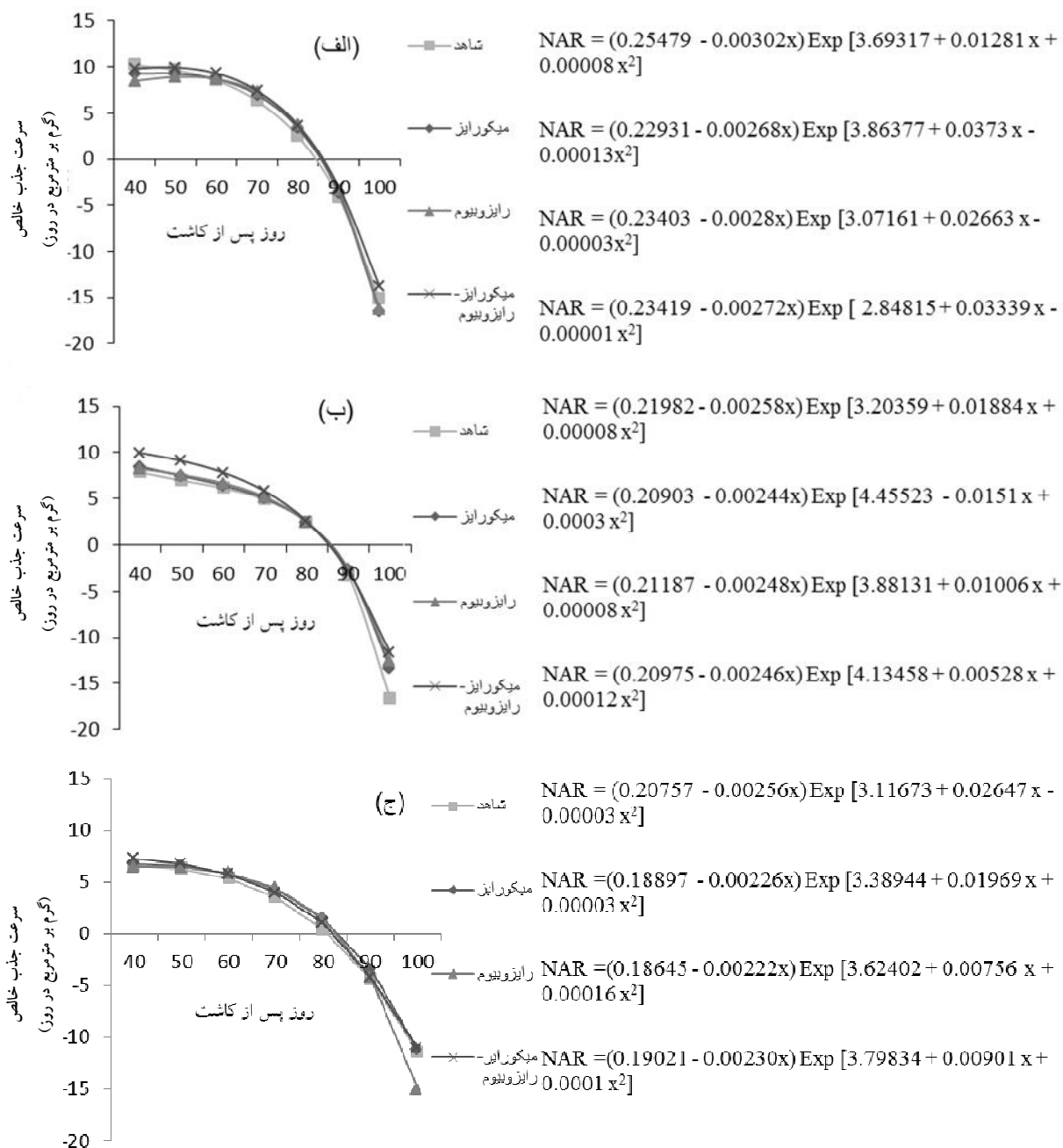
سرعت نسبی رشد

افزایش نسبی وزن گیاه در واحد زمان سرعت نسبی رشد نامیده می‌شود (۳۳). سرعت نسبی رشد در ۷۰ روز پس از کاشت تحت تأثیر اثرات اصلی و متقابل تنش رطوبت و کود زیستی قرار گرفت (جدول ۲). بالاترین سرعت نسبی رشد در تیمار آبیاری مطلوب به همراه ریزوبیوم با ۰/۴۵ گرم بر گرم در روز مشاهده شد که البته با تیمار شاهد همان سطح تنش تفاوت آماری نشان نداد (جدول ۳). به طور کلی افزایش تنش رطوبتی سبب کاهش سرعت نسبی رشد گردید (جدول ۳ و شکل ۵). در شرایط عدم تنش رطوبت و نیز تنش شدید رطوبت کاربرد میکورایز و ریزوبیوم به تنهایی سبب افزایش سرعت نسبی رشد شد که این افزایش در ریزوبیوم بیشتر بود (جدول ۳) اما در تنش متوسط استفاده از کودهای زیستی حتی اثر کاهنده بر این شاخص نشان داد که به نظر می‌رسد شدت تنش رطوبت عامل

بوته‌ها با سرعت بیشتری نسبت به تیمارهای تنش افزایش یافت و در انتهای فصل رشد به دلیل رقابت بیشتر بین بوته‌ها، پیری برگ‌ها، کاهش فتوسنتز و ریزش برگ‌ها (۸) تجمع ماده خشک در تمامی تیمارها کاهش یافت. نتایج آزمایش نشان داد حداکثر تجمع ماده خشک تقریباً هم‌زمان با حداکثر شاخص سطح برگ بود. ضریب بالای همبستگی ۰/۸۸ بین حداکثر ماده خشک کل و حداکثر شاخص سطح برگ (جدول ۴)، تأثیرپذیری مستقیم میزان تجمع ماده خشک را از شاخص سطح برگ نشان می‌دهد. وقوع تنش خشکی در گیاه، سبب کاهش توسعه رویشی گیاه، به ویژه سطح برگ‌ها شد، در نتیجه توانایی فتوسنتزی گیاه و سرعت انباشت ماده خشک کاهش یافت. به نظر می‌رسد کاهش تولید ماده خشک در گیاه زراعی که به علت کاهش محتوای آب خاک ایجاد شده است، ناشی از کاهش جذب تشعشع و کارایی فتوسنتز یا ترکیبی از هر دو عامل باشد (۸). لازکانو و لوات (۱۹) گزارش نمودند که با کاهش رطوبت خاک نه تنها هدایت روزنه‌ای بلکه جذب عناصر غذایی نیز در لوبیا کاسته شد.

سرعت جذب خالص

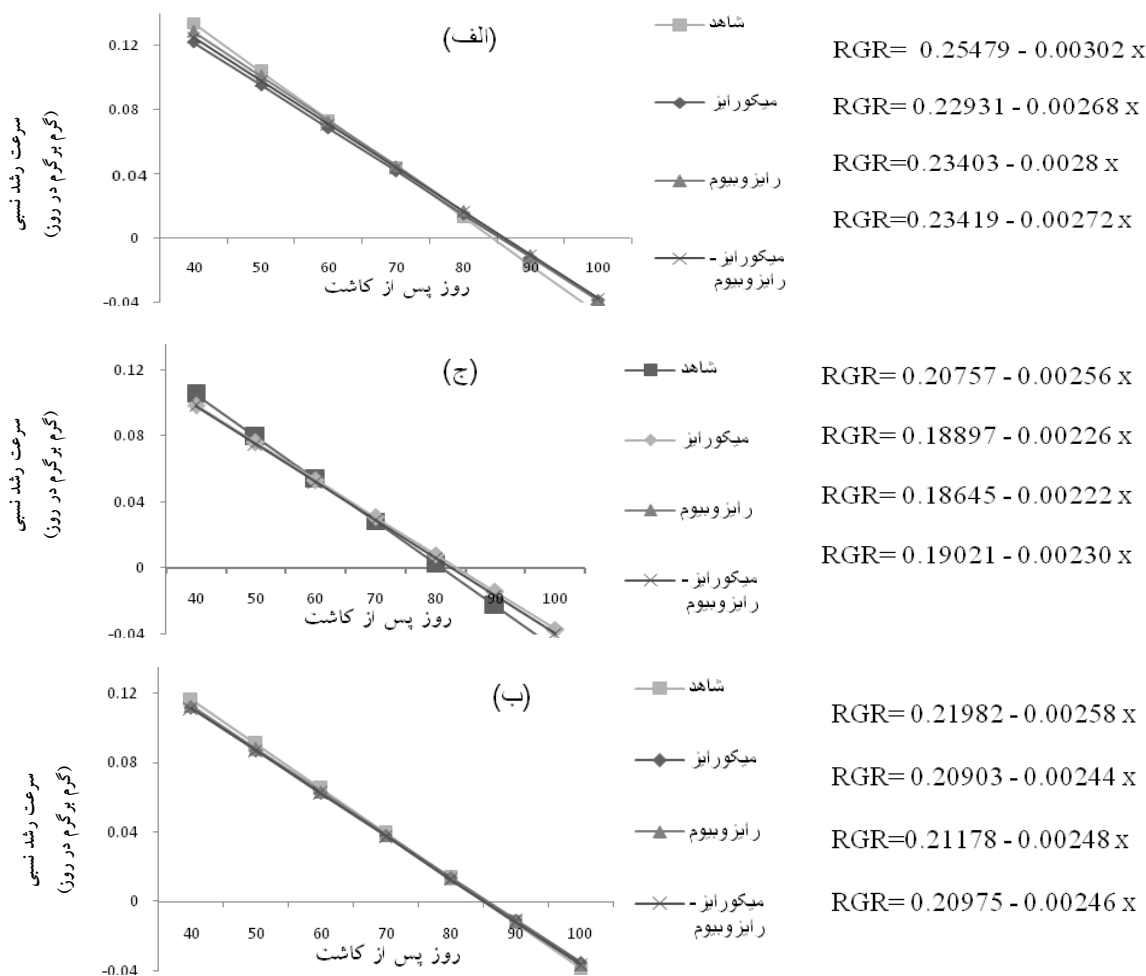
با توجه به جدول ۲ سرعت جذب خالص در ۷۰ روز پس از کاشت تنها تحت تأثیر تنش رطوبت قرار گرفت. سرعت جذب خالص در تنش متوسط و شدید به ترتیب ۲۶ و ۳۸ درصد کاهش یافت (جدول ۵) که این امر ممکن است به دلیل افزایش تنفس جامعه گیاهی و تخصیص بیشتر مواد فتوسنتزی به اندام‌های نگهدارنده و افزایش سرعت پیر شدن برگ‌ها در شرایط تنش رطوبتی باشد (۲ و ۱۰). هنگامی که گیاهان کوچک هستند و اغلب برگ‌ها در معرض نور مستقیم خورشید قرار می‌گیرند، سرعت جذب خالص در بالاترین مقدار خود قرار دارد و با گذشت زمان و افزایش سطح برگ و در سایه قرار گرفتن برگ‌ها و کاهش کارایی برگ این شاخص کاهش می‌یابد (۲۵). شکل ۳ نیز چنین روندی از تغییرات سرعت جذب خالص را در طول دوره رشد سویا و در تمام تیمارها



شکل ۳. روند تغییرات سرعت جذب خالص (NAR) در آبیاری مطلوب (الف)، تنش رطوبتی ملایم (ب) و تنش رطوبتی شدید (ج)

جای خود را به همکاری می‌دهد (۳).
 سرعت نسبی رشد در طول فصل رشد سیر نزولی دارد
 (شکل ۴)، زیرا در اوایل دوره رشد گیاه، بیشتر بافت‌ها از نظر
 متابولیسمی فعال هستند و با گذشت زمان مقدار بافت‌های غیر

مهمی در اثرگذاری کودهای زیستی به‌کار رفته بر سرعت نسبی
 رشد می‌باشد، یعنی اینکه در تنش متوسط بین گیاه و
 میکروارگانیسم‌های موجود در کودهای زیستی بر سر دریافت
 مواد فتوسنتزی رقابت وجود دارد اما در تنش شدید این رقابت



شکل ۴. روند تغییرات سرعت نسبی رشد (RGR) در آبیاری مطلوب (الف)، تنش رطوبتی ملایم (ب) و تنش رطوبتی شدید (ج)

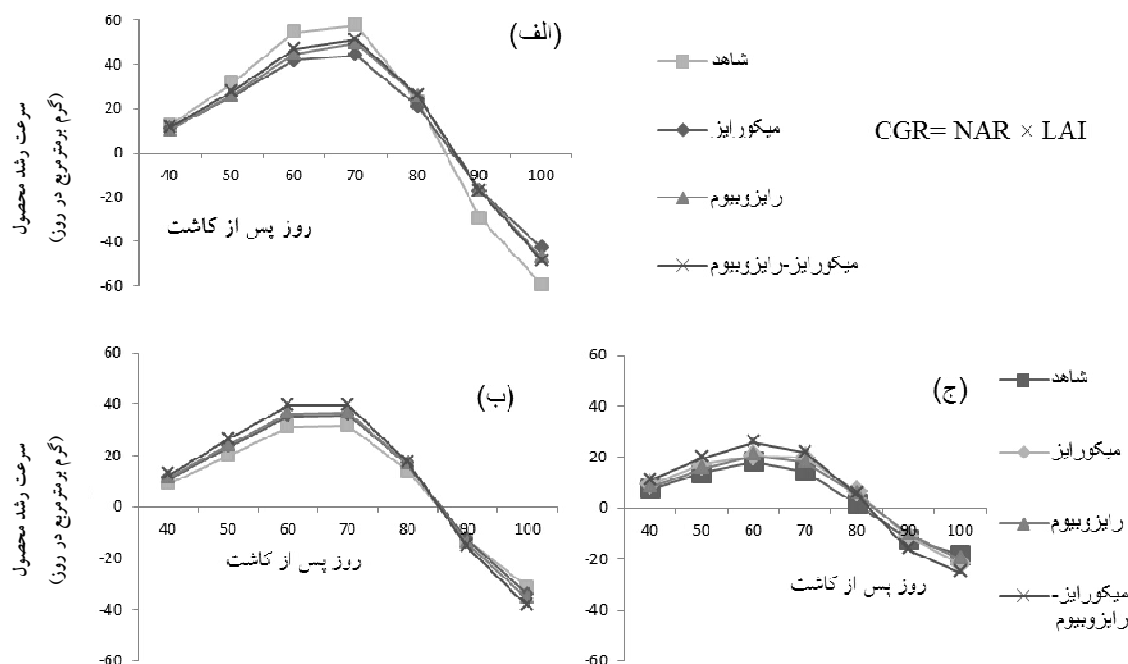
فعال (بافت‌های ساختمانی) بیشتر می‌شود (۲ و ۲۶).

سرعت رشد محصول

سرعت رشد محصول بیان‌کننده مقدار تجمع ماده خشک در واحد سطح زمین و در واحد زمان است (۸ و ۳۳). تنش رطوبت، کود زیستی و اثر متقابل آنها تأثیر معنی‌داری بر حداکثر سرعت رشد محصول داشت (جدول ۲). اعمال تنش رطوبتی باعث کاهش سرعت رشد محصول گردید (شکل ۵ و جدول ۳). از دلایل کاهش سرعت رشد گیاه در شرایط تنش رطوبت، اختلال در فعالیت روزنه‌ها (۱۹)، تولید و یا فعالیت کمتر آنزیم روبیسکو، تولید گونه‌های فعال اکسیژن به‌علت

اختلال در فعالیت فتوسیستم دو و کاهش فعالیت‌های آنزیمی مرتبط با عناصر غذایی خاص است که در شرایط کمبود رطوبت جذباتشان کاهش می‌یابد (۲۱).

حداکثر سرعت رشد محصول برابر ۵۹/۲۲ گرم در مترمربع در روز در حالت عدم تنش رطوبتی و عدم کاربرد کود زیستی به‌دست آمد اما در شرایط تنش شدید رطوبت این کاربرد هم‌زمان هر دو کود زیستی بود که بالاترین سرعت رشد محصول را رقم زد (۲۲/۲۱) گرم در مترمربع در روز) که تفاوت معنی‌داری با تیمار عدم کاربرد کود زیستی در حالت تنش شدید رطوبتی نشان داد یعنی مصرف هر دو کود زیستی سبب افزایش ۵۰ درصدی در حداکثر سرعت رشد محصول در



شکل ۵. روند تغییرات سرعت رشد محصول در آبیاری مطلوب (الف)، تنش رطوبتی ملایم (ب) و تنش رطوبتی شدید (ج) شاخص سطح برگ (LAI)، سرعت جذب خالص (NAR)، سرعت رشد گیاه (CGR)

می‌شود (۸ و ۲۶).

دوام شاخص سطح برگ

دوام شاخص سطح برگ میزان سطح دوام بافت‌های فتوسنتز کننده را نشان می‌دهد و می‌تواند شاخص مناسبی از تولید باشد. این صفت تحت تأثیر اثرات اصلی و متقابل تنش رطوبت و کود زیستی قرار گرفت (جدول ۲). با توجه به جدول ۳ مقدار دوام شاخص سطح برگ در شرایط عدم تنش رطوبت با کاربرد کودهای زیستی به خصوص میکورایز کاهش معنی‌داری نشان می‌دهد که با نتایج صفات قبلی مطابقت دارد اما با افزایش شدت تنش رطوبت این روند معکوس شد به طوری که در تنش رطوبتی شدید کاربرد میکورایز به‌تنهایی و استفاده هم‌زمان از دو کود زیستی به ترتیب سبب افزایش ۱۷/۲ و ۳۴ درصدی این شاخص گردید. احتمالاً در شرایط تنش رطوبتی، حضور کودهای زیستی سرعت تخریب کلروفیل را کاهش داده‌اند (۲۰). از آنجا که هر چقدر شاخص سطح برگ و مدت زمان

شرایط تنش رطوبت گردید (جدول ۳). این تأثیر مثبت می‌تواند ناشی از افزایش شاخص سطح برگ (شکل ۱) و بالاتر بودن سرعت جذب خالص (شکل ۳) در چنین شرایطی ارزیابی شود (۴ و ۷) چرا که همبستگی بالایی بین سرعت رشد محصول با حداکثر شاخص سطح برگ (۰/۷۷) و سرعت جذب خالص (۰/۹۱) به‌دست آمد (جدول ۴). هم‌چنین در این تحقیق سرعت رشد محصول با حداکثر ماده خشک کل بالاترین ضریب همبستگی موجود یعنی یک را نشان داد. از دیگر عوامل بهبود سرعت رشد تحت تأثیر کودهای زیستی می‌تواند تأمین بهتر عناصر غذایی ماکرو و میکرو مورد نیاز گیاه (۲، ۲۱، ۲۲ و ۲۳) و بهبود شرایط فیزیکی و شیمیایی خاک (۲۵) باشد.

سرعت رشد محصول در مراحل اولیه به‌دلیل کامل نبودن پوشش گیاهی و درصد پایین جذب نور کم است ولی با نمو گیاه افزایش می‌یابد (شکل ۵). حداکثر سرعت رشد محصول غالباً با آغاز گل‌دهی هم‌زمان است ولی با افزایش سن گیاه به‌دلیل پیر شدن و حتی ریزش برگ‌ها کاهش یافته و منفی

به دلیل غالب بودن اثر رقابتی میکروارگانسیم کودهای زیستی (با گیاه سویا بر سر دریافت آسیمیلات‌ها) بر اثر مثبت آنها در بهتر کردن جذب آب و املاح، دوام ماده خشک تولید شده در حضور این میکروارگانسیم‌ها به خصوص میکورایز کاهش یافته است.

نتیجه گیری

با توجه به نتایج به دست آمده می‌توان گفت در شرایط مطلوب رطوبتی هیچ‌کدام از دو کود زیستی به کار رفته سودمند نبودند، به ویژه کود زیستی میکورایز که سبب کاهش بیشتری در شاخص‌های رشد گردید، اما با افزایش شدت محدودیت رطوبت کاربرد هر دو کود زیستی منجر به افزایش معنی‌داری در بیشتر شاخص‌های رشد گردید و مصرف هم‌زمان دو کود زیستی برادی رابزویوم ژاپونیکوم و میکورایز آربوسکولار توانست اثر منفی تنش رطوبت را در بیشتر شاخص‌های رشد کاهش دهد و در نتیجه خسارت ناشی از تنش رطوبت را کم کند.

فعالیت برگ‌ها بیشتر باشد، این شاخص بزرگ‌تر خواهد بود، لذا می‌توان نتیجه گرفت که در شرایط کمبود رطوبت کاربرد این کودهای زیستی مفید خواهد بود.

دوام وزن خشک کل

تنش، کود زیستی و اثر متقابل آنها در سطح احتمال یک درصد بر دوام ماده خشک معنی‌دار گردید (جدول ۲). مقایسه اثر تیمارهای مختلف کود زیستی بر دوام وزن خشک نشان داد کاربرد کودهای زیستی به ویژه کاربرد هم‌زمان دو کود در شرایط تنش ملایم و شدید در افزایش این شاخص در گیاه سویا مفید بود، به طوری که در تنش شدید رطوبتی کاربرد توأم دو کود زیستی منجر به افزایش ۴۵/۸ درصدی دوام ماده خشک کل در مقایسه با تیمار عدم مصرف کودهای زیستی در همان سطح تنش گردید (جدول ۳).

به نظر می‌رسد بهبود وضعیت دوام وزن خشک در شرایط تنش رطوبت، ناشی از اثر مثبت کود زیستی بر دوام شاخص سطح برگ باشد که منجر به فراهمی بیشتر آسیمیلات‌ها به مدت طولانی‌تر شده است. اما در شرایط نبود تنش رطوبت احتمالاً

منابع مورد استفاده

- Albrecht, C., R. Geurts and T. Bisseling. 1999. Legume nodulation and mycorrhizae formation, two extremes in host specificity meet. *Journal of European Molecular Biology Organization* 18(2): 281-288.
- Aliasgharzad, N., M. R. Neyshabouri, and G. Salimi. 2006. Effects of arbuscular mycorrhizal fungi and *Bradyrhizobium japonicum* on drought stress of soybean. *Biologia Bratislava* 19: 324-328.
- Auge, R. M. 2001. Water relations, drought and vesicular-arbuscular mycorrhizal symbiosis. *Mycorrhizae* 11: 3-42.
- Azcon, R., M. Gomez and R. Tobar. 1996. Physiological and nutritional responses by *Lactuca sativa* L. to nitrogen sources and mycorrhizal fungi under drought conditions. *Biology and Fertility of Soils* 22: 156-161.
- Azcon, R., J. M. Barea and D. S. Hayman. 1976. Utilization of rock phosphate in alkaline soils by plants inoculated with mycorrhizal fungi and phosphate solubilizing bacteria. *Soil Biology and Biochemistry* 8: 135-138.
- Chabot, R., H. Antoun and M. Cescas. 1996. Growth promotion of maize and lettuce by phosphate – solubilizing *Rhizobium leguminosarum* biovar Phaseoli. *Plant and Soil* 184: 311-321.
- Boomsma, C. R. and T. J. Vyn. 2008. Maize drought tolerance: Potential improvements through arbuscular mycorrhizal symbiosis. *Field Crops Research* 108: 14-31.
- Daneshian, J. 2000. Ecophysiological effects of water deficit in soybean. PhD Thesis, Tehran Islamic Azad University, Tehran, Iran. (In Farsi).
- Daneshian, J. and S. Ghalebi. 2001. Effect of Withholding Irrigation at Podding Stage of Soybean for Selecting Drought Tolerant Cultivars. The Final Report, Agricultural Research and Education Organization, Seed and Plant Improvement Institute, Oil Seed Research Section. Karaj. (In Farsi).
- De Costa, W. A. J. M. and K. N. Shanmugathan. 2002. Physiology of yield determination of soybean (*Glycine max* (L.) Merr.) under different irrigation regimes in the sub-humid zone of Serilanka. *Field Crops Research* 75: 23-35.

11. Eduerdo E., J. Esculante and R. W. Wilcox. 1993. Variation in seed protein among nodes of normal and high protein soybean genotypes. *Agronomy Journal* 75: 590-595.
12. Ghosh, P. K., K. K. Ajay, M. C. Bandyopadhyay, K. G. Manna, A. K. Mandal and K. M. Hati. 2004. Comparative effectiveness of cattle manure, poultry manure, phosphocompost and fertilizer-NPK on three cropping system in vertisols of semiarid tropics. Dry matter yield, nodulation, chlorophyll content and enzyme activity. *Bioresource Technology*. 95: 85-93.
13. Glick, B. R., C. L. Patten, G. Holguin and D. M. Penrose. 1999. *Biochemical and Genetic Mechanisms Used by Plant Growth Promoting Bacteria*. Imperial College Press, London, United Kingdom.
14. Gardner, F., R. Pearce and R. L. Mitchell. 1985. *Physiology of Crop Plants*. Iowa State University Press, Ames, USA.
15. Heatherly Larry, G. and R. Spurlock Stan. 1993. Timing of furrow irrigation termination for determinate soybean on clay soil. *Agronomy Journal* 85: 1103-1108.
16. Karimzadeh Asl, KH., D. Mazaheri and A. Peighambari. 2004. Effect of four irrigation intervals on growth of three sunflower cultivars. *Desert Journal* 9(2): 255-266. (In Farsi).
17. Khoddambashi, M., M. Karimi and M. R. Khajehpour. 1990. Effect of different irrigation regimes on growth of soybean. *Iranian Journal of Agricultural Science* 21: 1-7. (In Farsi).
18. Khan, A. G. 2006. Mycorrhizoremediation an enhanced form of phytoremediation. *Journal of Zhejiang University Science Biology* 7: 503-514.
19. Lazzcano, F. I. and C. J. Lovatt. 1999. Relationship between relative water content, nitrogen pools and growth of *Phaseolus vulgaris* L. and *P. acutifolius* during water deficit. *Crop Science* 39: 467-475.
20. Li, S., S. R. Pezeshki and S. Goodwin. 2004. Effects of soil moisture regimes on photosynthesis and growth in cat tail (*Typha latifolia*). *Acta Oecologica* 25: 17-22.
21. Liu, A., C. Hamel, R. I. Hamilton, B. L. Ma and D. L. Smith. 2000. Acquisition of Cu, Zn, Mn and Fe by mycorrhizal maize (*Zea mays* L.) grown in soil at different P and micronutrient levels. *Mycorrhizae* 9: 331-336.
22. Liu, A., C. Plenchette and C. Hamel. 2007. Soil nutrient and water providers: how arbuscular mycorrhizal mycelia support plant performance in a resource limited world. pp. 37-66. *In: Hamel, C. and C. Plenchette (Eds.) Mycorrhizae in Crop Production*. Haworth Food and Agricultural Products Press, Binghamton, NY. USA.
23. Molla, A. H., Z. H. Shamsuddin, M. S. Halimi, M. Morziah and A. B. Putech. 2001. Potential for enhancement of root growth and nodulation of soybean co-inoculated with *Azospirillum* and *Bradyrhizobium* in laboratory systems. *Soil Biology and Biochemistry* 33: 457-463.
24. Muchow, R. C. 1985. An analysis of the effects of water deficiency on grain legumes grown in a semi-arid tropical environment in terms of radiation interception and its efficiency of use. *Field Crops Research* 11:309-323.
25. Nasiri Mahallati, M., A. R. Koucheqi, P. Rezvani and A. R. Beheshti. 2001. *Agroecology*. Mashhad University Press. Mahhad. (In Farsi).
26. Rahnama, A. 2008. *Plant Physiology*. Pouran Pajouhesh Press. Tehran, Iran. (In Farsi).
27. Ravari, V. and D. J. Hum. 2003. Performance of a superior *Bradyrhizobium japonicum* and selected *Sinorhizobium ferdii* strain with soybean cultivar. *Agronomy Journal* 84: 1051-1056.
28. Reddy, A., R. Chaitanya and K. V. Munusamy Vivekanadan. 2004. Drought-induced response of photosynthesis and antioxidant metabolism in higher plants. *Journal of Plant Physiology* 161: 1189-1202.
29. Rosas, S., M. Rovera, J. Andres and N. Correa. 2002. Effect of phosphorous solubilizing bacteria on the rhizobia legume symbiosis. *In: Proceedings of the 15th International Meeting on Microbial phosphate Solubilization*. Salamanca University, 16-19 July, Salamanca, Spain.
30. Shahmoradi, SH. 2003. Effects of water stress on quantitative and qualitative traits of soybean cultivars and soybean advanced lines. MSc. Thesis, Tehran University, Tehran, Iran. (In Farsi).
31. Streenivasa, M. N., G. T. Basavarga and J. M. Kulkarni. 1995. Vesicular-arbuscular mycorrhiza assist in nodulation and N₂ fixation in soybean. *Journal of Maharashtra Agricultural University* 20: 292-293.
32. Toro, M., R. Azcon and J. M. Barea. 1998. The use of isotopic dilution techniques to evaluate the interactive effects of rhizobium genotype, mycorrhizal fungi phosphate solubilizing rhizobacteria and rock phosphate on nitrogen and phosphorous acquisition by *Medicago sativa*. *New Phytologists* 138: 265-273.
33. Valadabadi, A., M. H. Lebaschi and H. Farahani. 2009. Effect of arbuscular mycorrhizal fungi, penta oxide phosphate fertilizer and irrigation interval on physiological indices of coriander. *Iranian Journal of Medicinal and Aromatic Plants* 25(3): 414-428. (In Farsi).
34. Zaidi, S. F. A. 2003. Inoculation with *Bradyrhizobium japonicum* fluorescent pseudomonas to control *Rhizoctonia solani* in soybean [*Glycine max* (L) Merr]. *Annals of Agricultural Research* 24: 151-153.